

АППАРАТУРА И МЕТОДЫ ОПТИЧЕСКОЙ ДИАГНОСТИКИ ОКРУЖАЮЩЕЙ СРЕДЫ

УДК 621.373.8

Параметрический генератор света на кристалле HGS с плавной перестройкой длины волны в диапазоне 4,75–9,07 мкм

В.С. Айрапетян, А.В. Макеев*

Сибирский государственный университет геосистем и технологий
630108, г. Новосибирск, ул. Плахотного, 10

Поступила в редакцию 17.06.2020 г.

Разработана оптическая схема кольцевого резонатора параметрического генератора света (ПГС) на активном элементе из кристалла тиогаллата ртути с перестройкой длины волн излучения в среднем и дальнем инфракрасных диапазонах 4,75–9,07 мкм. Рассчитаны зависимости длины волны излучения ПГС от угла фазового синхронизма и распределения интенсивности выходного излучения от длины волны. Рассмотрена возможность сужения спектральной линии выходного излучения путем ввода в резонатор диспергирующего элемента (эталон Фабри–Перо).

Ключевые слова: параметрическая генерация света, нелинейный кристалл, тиогаллат ртути, спектральная ширина излучения лазера; optical parametric oscillator, nonlinear crystal, mercury thiogallate, spectral width of laser radiation.

Введение

В настоящее время актуальной задачей является совершенствование лидарных систем, осуществляющих дистанционное зондирование атмосферных компонент воздуха методом дифференциального поглощения и рассеяния [1]. Среди главных требований, предъявляемых к источникам лазерного излучения, которые используются в лидарных системах, можно выделить следующие [2]:

- возможность плавной и дискретной перестройки частоты лазерного излучения;
- высокая энергия выходного излучения;
- малая расходимость выходного излучения;
- узкая спектральная ширина излучения.

Источниками накачки параметрического генератора света (ПГС) выступают преимущественно импульсные неодимсодержащие лазеры. В работах отечественных и зарубежных авторов представлены различные варианты оптических схем резонаторов для ПГС в ближнем и среднем ИК-диапазонах, их параметры приведены в табл. 1. Доминирующее положение здесь занимают линейные схемы резонаторов, которые могут обеспечивать перестройку в достаточно широком диапазоне. Однако когда значения выходной энергии удовлетворяют требованиям лазерной спектроскопии, выходное излуче-

ние ПГС быстро расходится, и расходимость увеличивается с ростом энергии лазера накачки [3–6].

Цель настоящей работы – разработка ПГС со спектральной шириной на уровне $\leq 1 \text{ см}^{-1}$ и высокой интенсивностью выходного излучения с плавной перестройкой длины волны в 4,75–9,07 мкм.

Экспериментальная часть

Параметрическая генерация возбуждается в активной среде, помещенной во внешний трехзеркальный резонатор, представляющий собой съемный узел лазера накачки YAG:Nd³⁺ (рис. 1).

В наших ранних работах (например, [4, 7]) были исследованы амплитудно-временные и спектроскопические характеристики ИК ПГС на нелинейно-оптическом кристалле (НК) LiNbO₃ с плавной и/или дискретной перестройкой длины волны. В настоящей работе была рассчитана и разработана оптическая схема кольцевого резонатора ИК ПГС на НК HgGa₂S₄ (HGS) с плавной перестройкой длины волны в диапазоне 4,75–9,07 мкм. Плавная перестройка частоты осуществляется угловым вращением НК вокруг его вертикальной оси, дискретная – воздействием внешнего постоянного электрического поля на НК. Схема ПГС на кристаллах HGS представлена на рис. 1.

Излучение YAG:Nd³⁺-лазера с длиной волны накачки $\lambda_n = 1,064 \text{ мкм}$ входит в резонатор ПГС через плоское зеркало M_1 . Активный элемент –

* Валерик Сергеевич Айрапетян (v.s.ayrapetyan@sgga.ru); Александр Викторович Макеев (makeeffsan@yandex.ru).

Таблица 1

Сравнительные характеристики различных ПГС для лазарных систем

Работа	Активная среда	Тип перестройки	Диапазон перестройки, мкм	Максимальная выходная энергия в импульсе, мДж	Спектральная ширина излучения, см ⁻¹
[7]	KTP	—	$\lambda_c = 1,573$ $\lambda_x = 3,288$	70	3,5
[8]	HgGa ₂ S ₄	—	$\lambda_c = 1,4\text{--}2,0$ $\lambda_x = 2,3\text{--}4,4$	0,8	—
[9]	AgGaS ₂	—	$\lambda_c = 3,5$	13	—
[10]	HgGa ₂ S ₄	непрерывная	$\lambda_c = 3,3\text{--}3,85$ $\lambda_x = 2,4\text{--}3,1$	$67 \cdot 10^{-3}$	~5
[11]	LiNbO ₃	плавная	$\lambda_c = 1,5\text{--}1,85$ $\lambda_x = 2,5\text{--}3,7$	8	0,12
[12]	Cr ²⁺ :CdSe	плавная	$\lambda_c = 2,26\text{--}3,61$	—	—
[13]	ZnSe:Fe	—	$\lambda_c = 3,77\text{--}4,40$	—	—

Примечание. «—» означает отсутствие данных; λ_c — сигнальная волна, λ_x — холостая волна

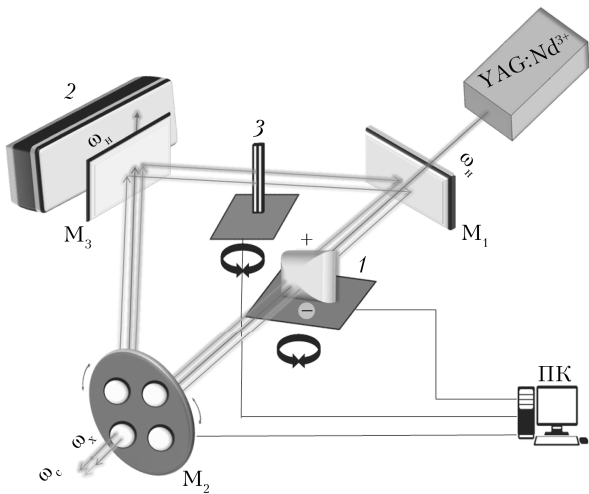


Рис. 1. Схема кольцевого резонатора ПГС: 1 — активный элемент из кристалла HGS; 2 — поглотитель; 3 — эталон Фабри–Перо; ω — частота входного излучения

изготовлен из кристалла HGS с габаритными размерами $10 \times 10 \times 30$ мм и ориентацией $\theta = 47^\circ$, $\phi = 90^\circ$.

Он установлен на юстировочном столике, который вращается вокруг вертикальной оси с точностью до $11''$, за счет чего происходит плавная угловая перестройка частоты излучения ПГС. В этом ПГС реализован второй тип фазового синхронизма ($eo-e$) [13–15]. Зависимость длины холостой волны от угла синхронизма, рассчитанная в среде MATLAB, показана на рис. 2.

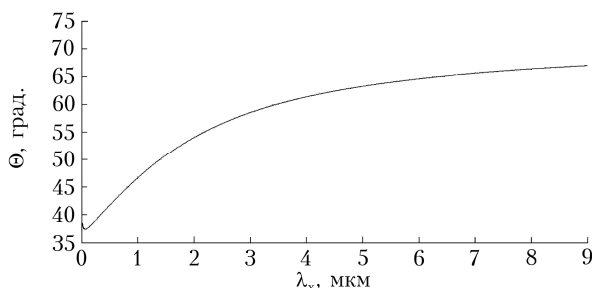


Рис. 2. Зависимость длины холостой волны от угла фазового синхронизма

Для определения значений λ_h , а также λ_c и λ_x применялась модель уравнения Селмейра для кристалла HGS [16, 17]. В результате вычислений получены массивы значений λ_c и λ_x и показателей преломления n_{oh} , n_{eh} , n_{ox} , n_{ex} , n_{oc} , n_{ec} (нижний индекс «о» — обыкновенная, «е» — необыкновенная поляризация) для каждого типа волны во всем диапазоне перестройки.

Для расчета зависимости λ_x от угла фазового синхронизма (Θ) использовалось выражение

$$\operatorname{tg}^2 \Theta^{eo-e} = \frac{1-X}{Y-Z}, \quad (1)$$

где

$$X = \left(\frac{n_{ox} + n_{oc}}{\frac{n_{ox}}{\lambda_x} + \frac{n_{oc}}{\lambda_c}} \right)^2; \quad Y = \left(\frac{n_{ox} + n_{oc}}{\frac{n_{eh}}{\lambda_h} + \frac{n_{oc}}{\lambda_c}} \right)^2; \quad Z = \left(\frac{n_{ox} + n_{oc}}{\frac{n_{eh}}{\lambda_h} + \frac{n_{oc}}{\lambda_c}} \right)^2. \quad (2)$$

Плавная перестройка длины волны в спектральном диапазоне $4,75\text{--}9,07$ мкм выполняется поворотом кристалла на угол не менее 7° .

Для сужения спектральной ширины излучения ПГС в разработанной схеме в резонатор введен эталон Фабри–Перо (ЭФП) 3, установленный на управляемой вращательной платформе в третьем плече резонатора, где отсутствует мощное излучение накачки, с целью предотвращения механического разрушения его диэлектрических покрытий. Синхронным вращением активного элемента 1 и ЭФП достигается сужение спектральной ширины излучения ПГС во всем частотном диапазоне перестройки. ЭФП действует непосредственно на сигнальную волну, при этом автоматически сужая и холостую. На основе измерений, выполненных с помощью монохроматора МДР-23 [7], был произведен расчет спектральной ширины излучения; она не превышает $0,7$ см⁻¹.

Для повышения выходной энергии λ_c и λ_x зеркало M_2 выполнено в виде набора зеркал, установленных в револьверном механизме. Вращением механизма можно достичь оптимального значения

коэффициента отражения излучения ПГС. Зеркало M_3 пропускает мощное излучение накачки, которое попадает в установленный за ним поглотитель 2.

С учетом того, что апертура нелинейного кристалла намного больше диаметра пучка лазера накачки, волновая расстройка $\Delta = 0$, пространственно-временная модуляция пучка лазера накачки имеет гауссовскую форму, а его амплитуда определяется выражением

$$A_3(r, 0, t) = A_{30} \exp \left[-2 \ln 2 \left(\frac{t}{\tau_h} \right)^2 - \left(\frac{r}{\rho_0} \right)^2 \right], \quad (3)$$

где

$$A_{30} = \frac{1}{\sigma} \left[2\delta + \frac{1}{l} \ln \frac{1}{R_1 R_2 R_3} \right] \quad (4)$$

— амплитуда излучения лазера накачки в центре луча и в максимуме импульса; $\sigma = \frac{\omega_{c,x,d_{\text{эфф}}}}{n_j c}$ — нелинейный коэффициент НК, где $\omega_{c,x}$ — частота сигнальной и холостой волн, $d_{\text{эфф}}$ — эффективный нелинейный коэффициент, который определяется геометрией взаимодействия волн в кристалле, n_j — показатель преломления НК, c — скорость света в вакууме; l — длина резонатора без НК; R_1 , R_2 и R_3 — коэффициенты отражения зеркал резонатора; δ — коэффициент поглощения НК; τ_h — длительность импульса накачки по уровню половины максимума интенсивности; ρ_0 — радиус перетяжки пучка накачки в НК; r — радиус-вектор обхода луча

в кольцевом резонаторе; $t = \frac{nl + (L-l)}{c}$ — время обхода луча в кольцевом резонаторе с периметром L .

Варьируя параметры τ_h , A_{30} , L , δ_j , l , R_1 , R_2 и R_3 , на основе ранее полученных экспериментальных данных [4, 7] мы рассчитали интенсивность выходного излучения ИК ПГС. Изменяя коэффициент отражения R_2 зеркала M_2 при неизменных значениях τ_h , A_{30} , L , δ_j , l , R_1 и R_3 , можно добиться оптимального режима работы генератора.

Расчетное значение выходной энергии ПГС в импульсе длительностью 20 нс показано на рис. 3.

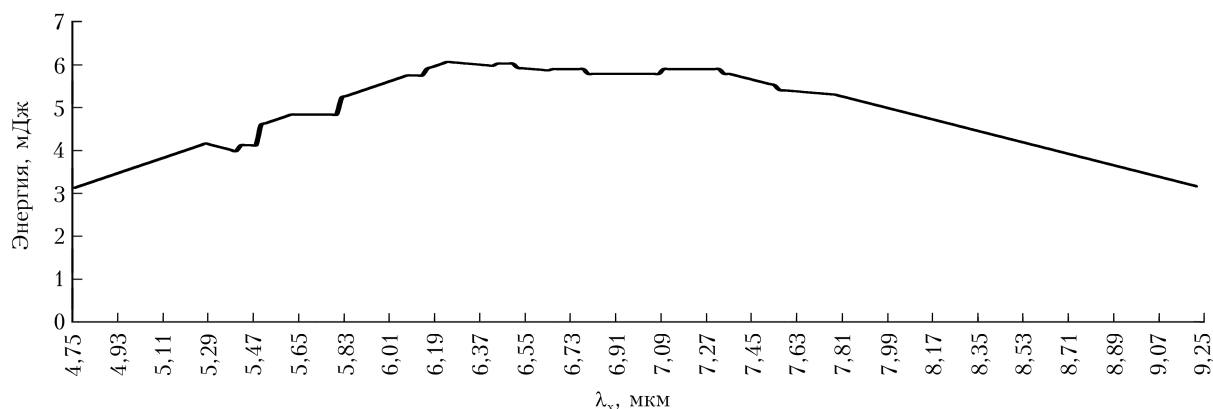


Рис. 3. Распределение энергии излучения ПГС в холостой волне

Результаты и обсуждение

Исследование амплитудно-временных и спектральных характеристик излучения ПГС было выполнено в лабораторных условиях при частоте следования лазерных импульсов 20–30 Гц. Энергетическая нестабильность составила ~6%.

В реализованной трехзеркальной схеме суммарный коэффициент преобразования энергии лазера накачки в энергию излучения ПГС $\mu = \frac{E_{\text{ПГС}}}{E_h}$ достигает 3,3%. Численное значение угловой расходимости пучка вычислялось, согласно [18], как отношение диаметра диафрагмы, в которую попадает 86% полной энергии импульса излучения ПГС, к фокусному расстоянию линзы $\frac{d}{l}$. Таким образом было определено угловое распределение лазерного излучения в дальней зоне. Поскольку излучение ПГС представляется в виде суперпозиции сигнальной и холостой волн, измеренные параметры пучка в дальней зоне позволяют оценивать распределение энергии в отдельных волнах.

Экспериментально полученные значения расходимости λ_c и λ_x не превышали 3,5 мрад во всем диапазоне перестройки. Полученный результат совпадает с расчетом расходимости по методу M^2 [19, 20].

Технические характеристики разработанного ПГС приведены в табл. 2.

Таблица 2
Технические характеристики ПГС на кристалле HGS

Характеристика	Значение
Тип лазера	YAG:Nd ³⁺ с ПГС
Длина волны перестройки, мкм	4,75–9,07
Суммарная энергия в импульсе, мДж	до 6 (в зависимости от длины волны излучения)
Расходимость излучения, мрад	$\leq 3,5$
Спектральная ширина излучения, см ⁻¹	0,5–0,7
Частота повторения импульсов, Гц	20–30
Переключение длины волны, нм	0,12–12
Длительность импульса, нс	20

Заключение

Таким образом, по результатам исследований нелинейно-оптических свойств кристаллов HGS, а также на основе современных технологических и компьютерно-программных сред была рассчитана и разработана оптическая схема высокоэффективного резонатора ПГС с плавной перестройкой длины волны излучения в диапазоне 4,75–9,07 мкм.

Благодаря небольшой ширине спектра излучения ($< 1 \text{ см}^{-1}$) такой генератор может быть использован в качестве источника излучения для лидарных систем с целью исследования и идентификации взрывчатых, наркотических и других сложных органических газовых веществ в микроокнах прозрачности атмосферы.

Работа выполнена при финансовой поддержке РФФИ (грант № 19-45-700003).

1. Wallin S., Petersson A., Ostmark H., Hobro A. Laser-based standoff detection of explosives // Anal. Bioanal. Chem. 2009. V. 395. P. 259–274.
2. Скворцов Л.А. Дистанционное обнаружение взрывчатых веществ с помощью методов активного формирования спектральных изображений // Квант. электрон. 2011. Т. 41, № 12. С. 1051–1060.
3. Weber H. Frequency tuning a mid-infrared optical parametric oscillator by the electro-optic effect // Proc. SPIE Int. Soc. Opt. Eng. 1999. V. 3826. P. 2.
4. Ayrapetyan V.S., Hakobyan A.V., Apresyan G.M., Poghosyan, Sahakyan A.H., Sargsyan K.A., Sargsyan T.K. IR lidar based on OPO // Proc. SPIE. 2006. V. 6160. P. 708–713.
5. Нелинейно-оптические кристаллы. Свойства и применение в квантовой электронике / Г.Г. Гурзадян, В.Г. Дмитриев, Д.Н. Никогосян (ред.). М.: Радио и связь, 1991. 160 с.
6. Wang T.J., Kang Z.H., Zhang H.Z., Feng Z.-S., Wu F.-G., Zang H.-Y., Jiang Y., Gao J.-Y. Sellmeier equations for green, yellow, and orange colored HgGa₂S₄ crystals // Appl. Phys. Lett. 2007. V. 90, N 18. P. 181913.
7. Ayrapetyan V.S., Apresyan G.M., Sargsyan K.A., Sargsyan T.K. Tunable OPO for differential absorption LIDAR's // Abstr. Conf. LAT, TQEC, LMI 72. Moscow, 22–28 June 2002. P. 87–89.
8. Наумов В.Л., Онищенко А.М., Подставкин А.С., Шестаков А.В. Внerezонаторная параметрическая генерация света на $\lambda = 1,5$ и 2 мкм с накачкой излучением лазеров на АИГ: Nd³⁺ // Квант. электрон. 2002. Т. 32, № 3. С. 225–228.
9. Наумов В.Л., Онищенко А.М., Подставкин А.С., Шестаков А.В. Высокоэффективный параметрический преобразователь на кристаллах КТР // Квант. электрон. 2000. Т. 30, № 7. С. 632–634.
10. Байдиков В.В., Дон А.К., Митин К.В., Серегин А.М., Синацкий В.В., Щебетова Н.И. Оптический параметрический генератор на кристалле HgGa₂S₄ // Квант. электрон. 2003. Т. 33, № 9. С. 831–832.
11. Dukhovnikova N.Yu., Kolker D.B., Starikova M.K., Boiko A.A., Osokin A.S. Mid-IR optical source based on the optical parametric oscillator // 11th Intern. Conf. APEIE. 2012. V. 5. P. 41–43.
12. Колкер Д.Б., Шерстов И.В., Костюкова Н.Ю., Бойко А.А., Зенов К.Г., Пустовалова Р.В. Комбинированный параметрический генератор света с непрерывной перестройкой длины волны излучения в спектральном диапазоне 2,5–10,8 мкм // Квант. электрон. 2017. Т. 47, № 1. С. 14–19.
13. Маркус Х., Орлов С.Н., Поливанов Ю.Н., Смирнов В.В., Фолькель Д., Хуськен Ф., Чузавков Ю.Л. Перестраивающий в среднем ИК диапазоне узкополосный источник когерентного излучения для спектроскопических применений // Квант. электрон. 1998. Т. 25, № 2. С. 165–169.
14. Акимов В.А., Козловский В.И., Коростелин Ю.В., Ландман А.И., Подмарков Ю.П., Скасырский Я.К., Фролов М.П. Эффективный импульсный Cr²⁺:CdSe-лазер с плавной перестройкой длины волны в спектральном диапазоне 2,26–3,61 мкм // Квант. электрон. 2008. Т. 38, № 3. С. 205–208.
15. Акимов В.А., Воронов А.А., Козловский В.И., Коростелин Ю.В., Ландман А.И., Подмарков Ю.П., Фролов М.П. Эффективный ИК-лазер на кристалле ZnSe:Fe с плавной перестройкой в спектральном диапазоне 3,77–4,40 мкм // Квант. электрон. 2004. Т. 34, № 10. С. 912–914.
16. Kostyukova N.Y., Kolker D.B., Zenov K.G., Boyko A.A., Starikova M.K., Sherstov I.V., Karapuzikov A.A. Mercury thiogallate nano-second optical parametric oscillator continuously tunable from 4.2 to 10.8 μm // Laser Phys. Lett. 2015. V. 12, N 9. P. 95401.
17. Rotermund F., Petrov V. Mercury thiogallate mid-infrared femtosecond optical parametric generator pumped at 1.25 μm by a Cr:forsterite regenerative amplifier // Opt. Lett. 2000. V. 25(10). P. 746–748.
18. Байдиков В.В., Дон А.К., Митин К.В., Серегин А.М., Синацкий В.В., Щебетова Н.И., Щетинкина Т.А. Оптический параметрический генератор среднего ИК-диапазона на кристалле HgGa₂S₄ с накачкой импульсно-периодическим Nd:YAG-лазером // Квант. электрон. 2007. Т. 37, № 4. С. 363–365.
19. Анаьев Ю.А. Оптические резонаторы и лазерные пучки. М.: Наука, 1990. 211 с.
20. Weber H. Optical Resonator: Fundamentals, Advanced, Concepts and Application. London: Springer-Verlag, 1997. 226 p.

V.S. Ayrapetyan, A.V. Makeev. **HGS-crystal optical parametric oscillator tunable in the wavelength range 4.75–9.07 μm.**

An optical circuit is designed for the ring cavity of an optical parametric oscillator (OPO) based on two series-mounted active elements—mercury thiogallate crystals (HgGa₂S₄) with the radiation tunable in the near and middle infrared ranges 4.75–9.07 μm. The dependences of the radiation idle wavelength on the phase-matching angle and of the distribution of the IR OPO output radiation intensity on the idle wavelength are calculated. A possibility of narrowing the spectral width of the output radiation by introducing a dispersing element (Fabry–Perot etalon) into the cavity is considered.